



Covert communication in the presence of untrusted relay

M. R Yari¹ M. Forouzesh² P. Azmi^{2*}
Professor, Tarbiat Modares University, Tehran, Iran.

(Received: 2024/04/06, Revised: 2024/07/16, Accepted: 2024/08/03, Published: 2024/08/31)

DOR: <https://dor.isc.ac.dor/20.1001.1.23224347.1403.12.2.1.1>

ABSTRACT

This work discusses covert communication and information theory security in a network with an untrusted relay. In this article, a scenario is proposed and evaluated in which the source and destination are equipped with multiple antennas and communicate with each other by the help of a single antenna untrusted relay. The warden is also considered to be equipped with multiple antennas and based on the total power received by all antennas, he decides on the present or absence of communication. Considering the limitation of the total transmit power, the constrained optimization problem is formulated to maximize the secrecy rate subject to satisfy covert communication requirements. To solve the single-objective constrained problem, the idea of converting the constrained problem into a multi-objective problem is proposed. Finally, we employ the nondominated sorting genetic algorithm (NSGA) to solve it.

If the ergodic secrecy rate is considered as a measure of efficiency, comparing the proposed solution with an exhaustive search shows a gap of about 6.888%, and the proposed solution is efficient. If the source employs the maximum ratio transmission method toward the untrusted relay in the first phase, the ergodic secrecy rate is improved by 9.48% and 11.53% compared to best antenna selection and random antenna selection, respectively. A higher secrecy rate can be obtained by using the maximum ratio transmission method toward the untrusted relay by the destination to transmit the artificial noise signal in the first phase. Furthermore, the greater the source's antennas, the greater the untrusted relay distance from the source.

Keywords: Covert communication, Information theory security, Untrusted relay, multi antennas techniques, NSGA.

This article is an open-access article distributed under the terms and conditions of the Creative Commons Attribution (CC BY) license.

Publisher: Imam Hussein University

Authors



*Corresponding Author Email: pazmi@modares.ac.ir



پدافند الکترونیکی و سایبری

سال دوازدهم، شماره ۲، تابستان ۱۴۰۳، ص ۱-۱۴

شایعه: ۲۹۸۰-۸۹۷۹ شاپا چاپی: ۴۳۴۷-۲۳۲۲



علمی-پژوهشی

مخابره پنهان در حضور رله غیرقابل اعتماد

محمد رضا یاری^۱, مسلم فروزان^۲, پائیز عزمی^{۳*}

۱- دانشجوی دکتری دانشگاه تربیت مدرس، تهران، ایران. ۲- استادیار دانشگاه تخصصی فناوری‌های نوین آمل، آمل، ایران. ۳- استاد، دانشگاه تربیت مدرس، تهران، ایران.

(دریافت: ۱۸/۱/۱۴۰۳، بازنگری: ۲۶/۰۵/۱۴۰۳، پذیرش: ۱۰/۰۶/۱۴۰۳)، انتشار: ۱۴۰۳/۰۴/۱۴۰۳

DOR: <https://dor.isc.ac/dor/20.1001.1.23224347.1403.12.2.1.1>

* این مقاله یک مقاله با دسترسی آزاد است که تحت شرایط و ضوابط مجوز Creative Commons Attribution (CC BY) توزیع شده است.



ناشر: دانشگاه جامع امام حسین (ع) نویسنده‌گان

چکیده

در این مقاله به بررسی تأثیر مخابره پنهان و ارسال امن نظریه اطلاعاتی در یک شبکه دارای رله غیرقابل اعتماد پرداخته می‌شود. سناریویی پیشنهاد و مورد ارزیابی قرار می‌گیرد که منبع و مقصد در آن مجhz به چندین آتن هستند و با کمک رله غیرقابل اعتماد تک آتن با یکدیگر ارتباط برقرار می‌کنند. ناظر نیز مجhz به چندین آتن در نظر گرفته می‌شود و بر اساس مجموع توان دریافتی توسط تمام آتن‌ها در ارتباط با وجود یا عدم وجود مخابره، تصمیم‌گیری می‌کند. با توجه به محدودیت توان کل ارسالی، مسئله بهینه‌سازی باهدف بیشینه کردن نرخ امن به شرط برقراری الزامات مخابره پنهان فرمول نویسی می‌شود. برای حل مسئله مقید تک‌هدفه از روش تبدیل مسئله تک‌هدفه به چند‌هدفه استفاده می‌شود. مسئله بهینه‌سازی چند‌هدفه با الگوریتم NSGAI^۱ حل می‌شود. چنانچه نرخ امن ارگودیک به عنوان معیار سنجش کارایی در نظر گرفته شود، مقایسه با الگوریتم جست‌وجو جامع نشان می‌دهد که روش مطرح شده، جهت حل مسئله بهینه‌سازی تخصیص توان با روش جست‌وجوی جامع ۶/۸۸٪ اختلاف دارد و روشی کارآمد هست. اگر در فاز اول منبع برای ارسال سیگنال داده از روش بیشترین نرخ ارسال در جهت رله غیرقابل اعتماد استفاده نماید، نرخ امن ارگودیک نسبت به روش انتخاب بهترین آتن و انتخاب تصادفی آتن به ترتیب ۹/۴۸٪ و ۱۱/۵۳٪ بهبود پیدا می‌کند. همچنین با استفاده از روش بیشترین نرخ ارسال به سمت رله توسط مقصد برای ارسال سیگنال نویز مصنوعی در فاز اول، نرخ امن بالاتری حاصل می‌شود. علاوه بر این، هرچقدر تعداد آتن‌های منبع افزایش پیدا کند، لازم است که رله، فاصله بیشتری را تا منبع داشته باشد.

کلیدواژه‌ها: مخابره پنهان، ارسال امن نظریه اطلاعاتی، رله غیرقابل اعتماد، فن‌های چند آتنی، الگوریتم NSGAI

راهکار متداول برای برقراری امنیت، استفاده از الگوریتم‌های رمزگاری هست^[۱]. در به کارگیری الگوریتم‌های رمزگاری، این فرض وجود دارد که شنودگران قابلیت محاسباتی محدودی دارند؛ بنابراین در زمان مناسب نمی‌توانند پیام را رمزگشایی نمایند و زمانی که رمزگشایی صورت گیرد، اطلاعات اعتبار خود را از دست می‌دهند^[۲].

باتوجه به قانون مور^۷، قابلیت محاسباتی تجهیزات همیشه در حال افزایش هست. همچنین ظهور فناوری‌هایی نظیر محاسبات کوانتم سبب می‌شود؛ توان محاسباتی تجهیزات بهشت افزایش پیدا کند. باتوجه به قانون مور و ظهور محاسبات کوانتم، این نتیجه گرفته می‌شود که فرض توان محدود محاسباتی شنودگران رفتارهای کارایی خود را از دست می‌دهد^[۳]. از سوی دیگر روش-

۱- مقدمه

دسته‌ای از حملات که علیه شبکه‌های بدون سیم انجام می‌شوند؛ حملات غیرفعال هستند. حملات غیرفعال به دودسته حملات شنودی^۲ و حملات آنالیز^۳ ترافیک طبقه‌بندی می‌شوند. در این مقاله راهکارهایی برای مقابله با حملات غیرفعال در سیستم مدل پیشنهادی ارائه خواهد شد. به عبارت دیگر در این مقاله این فرض وجود دارد که حملات جعل^۴ (پیام یا هویت)، دست‌کاری^۵ و قطع^۶ علیه شبکه بدون سیم انجام نمی‌شود.

* رایانه نویسنده مسئول: pazmi@modares.ac.ir

² Eavesdropping

³ Traffic analysis

⁴ Fabrication

⁵ Modification

⁶ Interruption

⁷ Moore's law

دارای مخابرہ پنهان هست که رابطه زیر در مخابرہ برقرار باشد.

$$\text{for any } \varepsilon \geq 0, \mathbb{P}_{MD} + \mathbb{P}_{FA} \geq 1 - \varepsilon, \text{as } n \rightarrow \infty \quad (2)$$

در بسیاری از موقع به سبب اثر سایه^۵ یا فاصله‌ی زیاد گیرنده و فرستنده لینک مستقیمی بین آن‌ها وجود ندارد. در چنین مواردی با استفاده از رله می‌توان به‌نوعی چندگانگی مکانی^۶ ارسال را فراهم آورد^[۱۴]. در این حالت به سبب فاصله‌ی مکانی آتنن‌های مجازی که ایجاد می‌شود، بسیار بهتر از چندگانگی چندین آتنن، قابلیت اطمینان^۷ مخابرہ بهبود پیدا می‌کند^[۱۵]. در سیستم مدل موربررسی منبع و مقصد به چندین آتنن مجهز هستند اما با توجه به عدم وجود لینک مستقیم بین آن‌ها چندگانگی چندین آتنن به‌تهابی کارآمد نیست و استفاده از رله در چنین شرایطی کمک‌کننده هست.

رله علاوه بر نقش یاری‌رسان ممکن است، نقش شنودگر^۸ را نیز داشته باشد، در چنین شرایطی به رله، رله غیرقابل اعتماد گفته می‌شود^[۱۶]. در این مقاله فرض می‌شود که رله غیرقابل-اعتماد است. جهت جلوگیری از شنود اطلاعات توسط رله از ارسال امن نظریه اطلاعاتی^۹ استفاده می‌شود.

در سال ۱۹۷۵ مدل کانال شنودی آقای وینر مطرح شد^[۱۷]. بر اساس مدل کانال شنودی زمانی که کانال شنودی نسخه تضعیف یافته تری نسبت به کانال اصلی باشد، دست‌یابی به امنیت کامل در یک کانال بدون حافظه گستته امکان‌پذیر است^[۱۷]. بر اساس کار آقای وینر مطالعات فروانی درز مینه‌ی ارسال امن نظریه اطلاعاتی شکل گرفت. سیستم مدل کلی ارسال امن نظریه اطلاعاتی شامل دو گره قانونی آليس و باب هست. شنودگر ایو نیز قصد دارد به محتوی پیام ارسالی بین آليس و باب پی ببرد. هدف آليس، استفاده از ابزارها و فن‌هایی هست که به‌وسیله‌ی آن‌ها بتواند، پیام را به صورت محترمانه به باب تحويل دهد. برای دست‌یابی به این هدف، آليس از مشخصات لایه فیزیکی نظیر نویز، تداخل، محوشدنگی و غیره بهره می‌برد^[۱۸]؛ با استفاده از این ابزارها سعی می‌کند یک مزیت در کانال اصلی نسبت به کانال شنودی ایجاد کند.

یکی از مفاهیم مهم در ارسال امن نظریه اطلاعاتی، ظرفیت (نرخ) امن^{۱۰} هست. در ارسال امن نظریه اطلاعاتی ظرفیت (نرخ) امن بیانگر بالاترین نرخ ارسال به سمت کاربر قانونی هست، به‌نحوی که محترمانگی و اطمینان^{۱۱} ارسال به طور هم‌زمان تضمین شود. ظرفیت محترمانه به صورت زیر تعریف می‌شود.

های رمزگاری نمی‌توانند، مانع حملات همچون حملات آنالیز ترافیک شوند^[۴].

از مطالب فوق این نتیجه حاصل می‌شود که امروزه برای برقراری امنیت شبکه‌های بدون سیم فن‌های رمزگاری به‌تهابی کافی نیستند. پژوهشگران استفاده از امنیت در لایه فیزیکی^۱ (PLS) را به عنوان لایه اول دفاعی شبکه پیشنهاد می‌دهند^[۵]. یکی از راهکارهای مقابله با حملات آنالیز ترافیک، مخابرہ پنهان^۲ هست. یکی از کاربردهای مهم مخابرہ پنهان در مخابرات نظامی باهدف پنهان کردن ارتباطات برای جلوگیری از تشخیص وجود مخابرہ توسط نیروهای دشمن هست. در این کاربردها اگر دشمن از وجود مخابرہ آگاه شود ممکن است عملیاتی نظامی انجام دهد. درصورتی که وجود مخابرہ از ناظر موجود در شبکه پنهان باشد، ناظر موجود در شبکه شناسی برای حملات شنودی نیز نخواهد داشت؛ بنابراین مخابرہ پنهان به‌نوعی مانع حملات شنودی ناظر نیز می‌شود.

در پژوهش‌های متعددی سعی شده است که از مشخصات لایه فیزیکی نظیر نویز، تداخل، محوشدنگی و غیره جهت فریب ناظر موجود در شبکه استفاده شود^[۶-۱۳]؛ به طوری که فرستنده پیام خود را بر روی کانال نویزی برای گیرنده ارسال می‌نماید و ناظر موجود در شبکه قصد دارد، وجود یا عدم وجود مخابرہ بین گرههای شبکه را کشف نماید.

در مخابرہ پنهان، مخابرہ در T اسلات زمانی انجام می‌شود که در هر اسلات زمانی n سمبیل ارسال می‌شود^[۱۲]. ناظر بر اساس انرژی دریافت شده در هر اسلات زمانی تصمیم می‌گیرد که آیا در اسلات زمانی مشخص ارسال داده، انجام شده است یا خیر.

فرض Ψ_0 بیانگر این مطلب هست که فرستنده در اسلات زمانی مشخص داده‌ای را ارسال نکرده است و فرض Ψ_1 بیانگر ارسال داده در اسلات زمانی مشخص هست. $P(\Psi_1) = P - \rho$ و $P(\Psi_0) = 1 - \rho$ به ترتیب احتمال ارسال و عدم ارسال داده هستند. در چنین شرایطی خطای تشخیص ارسال یا عدم ارسال در ناظر از رابطه زیر محاسبه می‌گردد.

$$\mathbb{P}_e = (1 - \rho) \cdot \mathbb{P}_{FA} + \rho \cdot \mathbb{P}_{MD} \quad (1)$$

در رابطه فوق \mathbb{P}_{FA} احتمال هشدار اشتباه^۳ هست. یعنی احتمال عدم ارسال داده، درحالی که ناظر تصمیم بر ارسال داده گرفته است. همچنین \mathbb{P}_{MD} احتمال از دست دادن آشکارسازی^۴ هست. یعنی احتمال آن که ارسال داده صورت پذیرد اما ناظر تصمیم بر عدم ارسال داده بگیرد.

در ادبیات مخابرہ پنهان، زمانی گفته می‌شود، فرستنده با گیرنده

¹ Physical Layer Security

² Covert communication

³ False alarm

⁴ Miss Detection

⁵ Shadowing

⁶ Space diversity

⁷ Reliability

⁸ Eavesdropper

⁹ Information-theoretic security

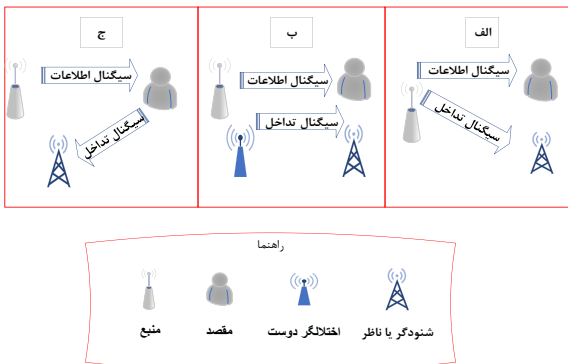
¹⁰ Secrecy capacity (Rate)

¹¹ Reliability

و [۲۵]. تداخل مشارکتی بر اساس مقصد^۶ (DBCJ) در شکل ۱(ج) آورده شده است.

در میان روش‌هایی که در بالا آورده شده است، DBCJ در مقایسه با تداخل بر اساس منبع و روش FJ به سادگی قابل پیاده‌سازی است. چون که در این روش مقصد از سیگنال تداخل ارسالی خود، آگاه بوده و می‌تواند خود تداخلی^۷ را حذف نماید.

اگرچه به کارگیری نویز مصنوعی، سبب بهبود انتقال بدون سیم محروم‌نمایش شود، در عوض لازم هست که توان ارسالی اضافه، هزینه‌کرد. با توجه به محدود بودن توان ارسالی تجهیزات بدون سیم و همچنین افزایش تداخل در گیرنده‌های قانونی، لزوم تخصیص توان در چنین حالاتی، مشخص می‌شود.



شکل (۱): روش‌های ارسال سیگنال نویز مصنوعی

یکی دیگر از روش‌های بهبود PLS، پرتودهی هست. با استفاده از پرتودهی می‌توان سیگنال را در جهت موردنظر متمنکر کرد. به عنوان مثال، اگر سیگنال اطلاعات به سمت گیرنده قانونی متمنکر شود، کیفیت سیگنال دریافتی در گیرنده قانونی بهبود پیدا می‌کند. سیگنال نویز مصنوعی را نیز می‌توان به سمت گره مخرب^۸ متمنکر کرد، به این ترتیب اثر سوء سیگنال نویز مصنوعی در گره مخرب افزایش پیدا می‌کند.

در صورتی که برای بهبود PLS از روش تولید نویز مصنوعی استفاده شود، لازم است منابع توانی اضافه به تولید نویز مصنوعی اختصاص یابد. همچنین استفاده از روش‌های پرتودهی باعث افزایش پیچیدگی محاسباتی در طراحی پرتوده می‌شود. با این حال، روش‌های به کارگیری چندگانگی می‌توانند بهبود امنیتی را بدون نیاز به مصرف توان بیشتر و اعمال پیچیدگی برای طراحی پرتوده به ارمغان بیاورند. چندگانگی چند آتنن یک راه حل مناسب برای حل مسئله محوش‌گی و افزایش ظرفیت کانال‌های بدون سیم است.

در این مقاله، این فرض صورت پذیرفته هست که منبع و مقصد

$$C_s = [C_B - C_E]^+ \quad (3)$$

در رابطه فوق، C_B و C_E به ترتیب ظرفیت شانون کانال گیرنده اصلی و کانال شنودگر هستند. همچنین $[x]^+ = \max(x, 0)$ هست. در صورتی که کانال‌ها گوسی در نظر گرفته شوند، ظرفیت امن از رابطه زیر محاسبه می‌گردد.

$$C_s = [\log_2(1 + \gamma_d) - \log_2(1 + \gamma_e)]^+ \quad (4)$$

در رابطه فوق γ_d و γ_e به ترتیب سیگنال به نویز^۹ (SNR) دریافتی در مقصد و شنودگر هستند.

کانال‌های مخابراتی بدون سیم، دارای تغییرات زمانی، مکانی و فرکانسی هستند. روابط ۳ و ۴ بیانگر ظرفیت یا نرخ امن لحظه‌ای هستند. یکی از معیارهایی که برای بررسی اثر تغییرپذیر بودن کانال‌های بدون سیم استفاده می‌شود، میانگین گیری امنی از ظرفیت امن لحظه‌ای هست. با میانگین گیری از نرخ امن لحظه‌ای، نرخ امن ارگودیک^{۱۰} (ESR) به دست می‌آید. در [۷] برای محاسبه ESR از روش شبیه‌سازی مونتو-کارلو^{۱۱} استفاده شده است.

یکی از راه‌حل‌های بر جسته برای برقراری ارسال امن نظریه اطلاعاتی و مخابره پنهان بکار بردن سیگنال نویز مصنوعی^{۱۲} هست. نکته بسیار مهم در به کاربردن سیگنال نویز مصنوعی این است که اثر مخرب آن در شنودگر و ناظر بسیار بالا باشد، در شکل ۱ روش‌های گوناگون ارسال سیگنال نویز مصنوعی نمایش داده شده است. این روش‌ها عبارت‌اند از:

۱- تداخل بر اساس منبع:

در آن منبع یک سیگنال ترکیبی شامل سیگنال اطلاعات و سیگنال نویز مصنوعی را ارسال می‌کند. [۲۰، ۱۹] البته سناریوهای وجود دارد که ارسال دارای چند فاز هست، منبع در یک فاز به ارسال سیگنال داده و در فاز دیگر به ارسال سیگنال نویز مصنوعی می‌پردازد [۷]. تداخل بر اساس منبع در شکل ۱ (الف) آورده شده است.

۲- تداخل بر اساس اخلاقگر دوست:

در این روش یک رله یا یک اخلاقگر خارجی دوستانه^{۱۳} مشارکت دارد تا PLS را به ارمغان آورد [۲۱-۲۳]. FJ در شکل (ب) آورده شده است.

۳- تداخل مشارکتی بر اساس مقصد:

در آن مقصد جهت کاهش سیگنال به نویز در شنودگر یا فریب ناظر به ارسال سیگنال نویز مصنوعی می‌پردازد [۲۴، ۷].

⁶ Destination Based Cooperative Jamming

⁷ Self interference

⁸ در مخابره پنهان و ارسال امن نظریه اطلاعاتی منظور از گره مخرب به ترتیب ناظر و شنودگر هست.

⁹ Signal-to-Noise Ratio (SNR)

¹⁰ Ergodic Secrecy Capacity (ESR)

¹¹ Monte Carlo

¹² Artificial noise

¹³ Friendly Jammer

برای حل مسائل چندهدفه

- ۴- دورانداختن پاسخ‌های امکان‌ناپذیر
- ۵- انتخاب بهترین پاسخ از میان پاسخ‌های باقی‌مانده در این مقاله برای حل مسئله بهینه‌سازی تخصیص توان، از روش تبدیل مسئله بهینه‌سازی مقید تک‌هدفه به مسئله بهینه‌سازی چندهدفه و حل مسئله بهینه‌سازی چندهدفه با استفاده از الگوریتم ژنتیک با مرتب‌سازی نا‌غلوب^۹ نسخه شماره ۲^{۱۰} (NSGAII) استفاده شده است.

۱-۱- نوآوری

در این بخش در ارتباط با نوآوری‌های مقاله در مقایسه با پژوهش‌های قبلی صحبت می‌شود.

- ۱- در این مقاله به بررسی حالتی پرداخته شده است که مقصد مجهرز به چندین آنتن هست و با استفاده از ترکیب سیگنال دریافتی با روش MRC SNR دریافتی خود را افزایش می‌دهد. در چنین حالتی رله می‌تواند باز ارسال سیگنال منبع را با توان کمتری انجام دهد. این امر سبب می‌شود، در فاز دوم، توان بیشتری به ارسال سیگنال نویز مصنوعی توسط منبع اختصاص داده شود و توان کمتری از رله به ناظر نشست کند. درنتیجه قابلیت تشخیص ناظر کاهش می‌یابد.
- ۲- در سیستم مدل مطرح شده، ناظر و رله غیرقابل اعتماد، دو گره مخرب هستند. در فاز اول جهت فریب ناظر و همچنین جلوگیری از شنود احتمالی محتوى پیام ارسالی توسط رله غیرقابل اعتماد، مقصد به ارسال سیگنال نویز مصنوعی می‌پردازد. نتایج حاصل نشان می‌دهد که اگر مقصد از روش MRT در جهت رله غیرقابل اعتماد استفاده نماید، ESR بهبود پیدا می‌کند.
- ۳- این فرض صورت پذیرفته است که ناظر به چندین آنتن مجهرز هست و بر اساس مجموع انرژی دریافتی از تمام آنتن‌ها در ارتباط با وجود یا عدم وجود مخابره تصمیم‌گیری می‌کند.
- ۴- جهت حل مسئله بهینه‌سازی تخصیص توان از روش تبدیل مسئله بهینه‌سازی مقید تک‌هدفه به مسئله بهینه‌سازی چندهدفه و حل مسئله بهینه‌سازی چندهدفه با استفاده از NSGAII استفاده شده است.

هنگامی که از چندین آنتن استفاده می‌شود با بهره‌برداری از درجه آزادی فضایی^{۱۱} می‌توان با صرف توان کمتر، مخابره باقابلیت اطمینان^{۱۲} را پشتیبانی کرد. انرژی کمتر سبب کاهش قابلیت ناظر در تشخیص وجود مخابره می‌شود. مهم‌ترین نوآوری، در سیستم مدل پیشنهادی چند آنتن بودن؛ مقصد و ناظر هست. بررسی تأیم مخابره پنهان و امنیت نظریه اطلاعاتی در حضور

و شنودگر به چندین آنتن مجهرز هستند؛ بنابراین با به کارگیری روش‌هایی چون بیشترین نرخ ترکیب^۱ (MRC) می‌توانند کیفیت سیگنال دریافتی را بهبود دهند. همچنین می‌توانند با استفاده از پرتودهی بیشترین نرخ ارسال^۲ (MRT) سیگنال را در جهت مطلوب متوجه سازند.

همان‌طور که بیان شد، در هنگام استفاده از سیگنال نویز مصنوعی، نیاز به تخصیص توان وجود دارد. در این مقاله این فرض صورت می‌پذیرد که نتوان کل تخصیص یافته برای ارسال سیگنال نویز مصنوعی و سیگنال اصلی مقدار ثابتی هست. در این مقاله مسئله بهینه‌سازی به‌گونه‌ای فرمول نویسی می‌شود که نرخ امن با درنظر گرفتن الزامات مخابره پنهان بیشینه شود. هدف از مسئله بهینه‌سازی یافتن فاکتور تخصیص توان بهینه بین ارسال سیگنال نویز مصنوعی و سیگنال داده هست. در شرایطی که اندازه مسئله بهینه‌سازی بزرگ باشد، مسئله بهینه‌سازی گستته باشد، توابع هدف یا قیدهای غیرخطی در مسئله وجود داشته باشند؛ روش‌های دقیق قادر به یافتن پاسخ مسئله در زمان مناسبی نخواهند بود. در چنین حالتی برای یافتن بهترین جواب ممکن نزدیک بهینه در کمترین زمان، استفاده از روش‌های فرآبتكاری^۳ بسیار سودمند هست. یکی از روش‌های فرآبتكاری موجود الگوریتم ژنتیک^۴ هست.

الگوریتم ژنتیک از فرآیند انتخاب طبیعی موجود در طبیعت الهام‌گرفته است و به دسته‌ای بزرگ‌تر، به نام الگوریتم‌های تکاملی^۵ (EA) تعلق دارد. در این الگوریتم از عملگرهای زیستی نظیر جهش^۶، ترکیب^۷ و انتخاب^۸ استفاده می‌شود [۲۶]. بسیاری از مسائل مهندسی توسط یک مسئله بهینه‌سازی مقید فرمول نویسی می‌شوند؛ بنابراین یافتن روش حل برای این مسائل می‌تواند بسیار ارزشمند هست. یکی از موضوعات روز پژوهشی در بحث محاسبات تکاملی، مدیریت محدودیت‌ها است [۲۷].

یکی از روش‌های فرآبتكاری حل مسائل بهینه‌سازی مقید، تبدیل مسئله بهینه‌سازی تک‌هدفه به چندهدفه و حل مسئله بهینه‌سازی چندهدفه با الگوریتم‌های تکاملی هست [۲۸]. مراحل حل مسئله بهینه‌سازی چندهدفه عبارت‌اند از:

- ۱- نکاشت از فضای محدودیت‌ها به فضای توابع هدف
- ۲- ترکیب توابع هدف ناشی از محدودیت‌ها (الزامی نیست)
- ۳- حل مسئله بهینه‌سازی چندهدفه با الگوریتم‌های موجود

¹ Maximum Ratio Combining (MRC)

² Maximum Ratio Transmission (MRT)

³ Meta-heuristic

⁴ Genetic algorithm

⁵ Evolutionary Algorithm (EA)

⁶ Mutation

⁷ Selection

⁸ Crossover

⁹ Non-dominated Sorting

¹⁰ Non-dominated Sorting Genetic Algorithm

¹¹ Spatial degrees of freedom

¹² Reliable

زوج با احتمال ϵ تصمیم بر ارسال یا عدم ارسال داده می‌گیرد. در فاز اول، برای ارسال سیگنال اطلاعات و سیگنال نویز مصنوعی که به ترتیب توسط منبع و مقصد انجام می‌شود. از پرتودهی MRT در جهت رله استفاده می‌شود.^۵ نتایج حاصل در [۷] نشان می‌دهد که استفاده از MRT در جهت رله برای ارسال سیگنال اطلاعات توسط منبع، سبب بهبود نرخ امن می‌شود. در این مقاله این موضوع تأیید می‌شود و نشان داده می‌شود که استفاده از MRT در جهت رله برای ارسال سیگنال نویز مصنوعی، سبب بهبود، نرخ امن می‌گردد.

در فاز دوم رله، سیگنال دریافتی در فاز اول را تقویت و مجدد باز ارسال می‌نماید. منبع نیز به طور همزمان به ارسال سیگنال نویز مصنوعی می‌پردازد. ارسال سیگنال نویز مصنوعی توسط منبع باهدف فریب ناظر انجام می‌شود.

همان‌طور که در شکل ۳ نشان داده شده است. در فاز دوم برای ایجاد خطای آشکارسازی مخابره توسط ناظر، رله در برخی از اسلات‌های زمانی فرد به باز ارسال اطلاعات می‌پردازد و در بقیه اسلات‌های زمانی، فرد خاموش باقی می‌ماند. رله در اسلات‌های زمانی فرد با احتمال ϵ تصمیم بر باز ارسال یا عدم باز ارسال داده می‌گیرد.

از آنجایی که رله گرهای تک آتنن فرض شده است، بنابراین نمی‌توان از روش MRT در جهت مقصد توسط رله جهت بهبود سیگنال دریافتی در مقصد، استفاده کرد. همان‌طور که بیان شد، در فاز دوم، ارسال سیگنال نویز مصنوعی جهت فریب ناظر توسط منبع، انجام می‌شود. برخلاف رله ناظر گرهای خارجی در شبکه هست و ناظر یک حمله کننده غیرفعال هست؛ بنابراین اطلاعات حالت کانال^۶ (CSI) ناظر در منبع مشخص نیست. با توجه به مطالب بیان شده این نتیجه حاصل می‌شود که در فاز دوم ارسال نمی‌توان از MRT در جهت ناظر برای ارسال سیگنال نویز مصنوعی استفاده نمود.

این مخابره در قالب T اسلات زمانی که هر اسلات زمانی شامل ارسال n سمبول است، اجرا خواهد شد. قبل از راهاندازی شبکه، بازه‌های اسلات زمانی و شاخص اسلات‌های زمانی که منبع در آن‌ها به ارسال داده می‌پردازد، به گیرنده و رله

^۵ همان‌طور که بیان شد، ارسال سیگنال نویز مصنوعی با دو هدف فریب ناظر و همچنین کاهش SINR در رله غیرقابل اعتماد انجام می‌شود. از آن جایی که رله گره قانونی شبکه هست، این فرض انجام می‌شود که Rله در مقصد مشخص هست؛ بنابراین مقصد می‌تواند با مرکز CSI کردن سیگنال نویز مصنوعی در جهت رله مانع از حملات شنودی رله شود. در بخش نتایج مقایسه‌ای بین حالتی که از MRT در جهت رله استفاده شود، با انتخاب آتنن تصادفی، انجام می‌شود؛ نتایج حاصل نشان می‌دهد که استفاده از MRT در جهت رله کارایی سیستم مدل پیشنهادی را افزایش می‌دهد.

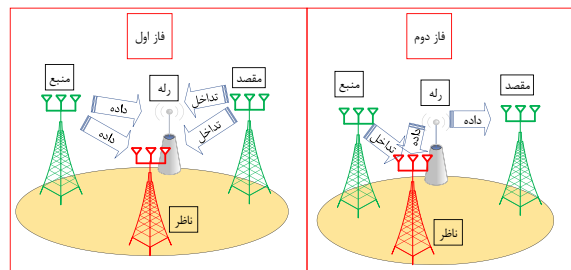
⁶ Channel State Information (CSI)

رله غیرقابل اعتماد، در حالتی که منبع مجهر به چندین آتنن باشد و برای ارسال داده از MRT در جهت رله غیرقابل اعتماد استفاده می‌کند [۷] انجام شده است. یکی از مسائلی که در این مقاله موردبررسی قرار می‌گیرد، بررسی MRT در جهت رله غیرقابل اعتماد جهت ارسال سیگنال نویز مصنوعی توسط مقصد است.

۲. سیستم مدل موردبررسی

سیستم مدل مورد مطالعه در شکل ۲ آورده شده است. سیستم مدل موردمطالعه شامل یک منبع و یک مقصد هست که به ترتیب به N_s و N_d آتنن مجهر هستند. این فرض وجود دارد که به دلیل فاصله‌ی زیاد منبع و مقصد یا به دلیل اثر سایه، لینک مستقیمی بین منبع و مقصد وجود ندارد. به همین منظور از رله برای برقراری ارتباط بین منبع و مقصد استفاده شده است.

رله غیرقابل اعتماد در نظر گرفته می‌شود، به این معنی که در سطح سرویس یک کمک‌کننده هست؛ اما ممکن است، در سطح داده، در نقش شنودگر ظاهر شود و به شنود اطلاعات مبادرت ورزد. رله غیرقابل اعتماد دارای عملکرد تقویت و ارسال^۱ (AF) هست؛ به این معنی که سیگنال دریافتی را تقویت و باز ارسال می‌نماید.



شکل (۲): سیستم نمونه‌ی موردبررسی

برای آن که سیستم مدل مورد بررسی در مقابل حملات آنالیز ترافیک ناظر مستحکم‌تر^۲ باشد، این فرض صورت پذیرفته است که ناظر موجود در شبکه به N_w آتنن مجهر هست.

برای ارسال داده از دسترسی چندگانه تقسیم زمانی^۳ (TDMA) استفاده می‌شود. ارسال داده در دوفاز انجام می‌شود. در فاز اول، منبع سیگنال داده را به سمت رله ارسال می‌کند. به طور همزمان، مقصد نیز به ارسال سیگنال نویز مصنوعی می‌پردازد. ارسال سیگنال نویز مصنوعی در فاز اول باهدف کاهش نرخ سیگنال به نویز بعلاوه تداخل^۴ (SINR) در رله غیرقابل اعتماد و فریب ناظر انجام می‌شود.

همان‌طور که در شکل ۳ نمایش داده شده است، در فاز اول جهت ایجاد خطای آشکارسازی مخابره توسط ناظر، منبع در برخی از اسلات‌های زمانی زوج خاموش می‌ماند. منبع در اسلات‌های زمانی

¹ Amplify-and-Forward (AF)

² Robust

³ Time Division Multiple Access (TDMA)

⁴ Signal-to-Interference-plus-Noise Ratio (SINR)



شکل (۳): نحوه ارسال در اسلات‌های زمانی مختلف

همان‌طور که بیان شد، کانال رله به مقصد و مقصد به رله هم پاسخ فرض می‌شود، بنابراین $\mu_{rd}^{(2)} = \mu_{dr}^{(1)}$ همچنین $\mathbf{h}_{rd}^{(2)} = \mathbf{h}_{dr}^{(1)} = \mathbf{h}_{dr}$ هستند.

سیگنال l ام دریافتی در رله غیرقابل اعتماد در هر اسلات زمانی در فاز اول از رابطه زیر قابل حصول است:

$$y_r^l = \begin{cases} \sqrt{(1-\lambda)P} \mathbf{W}_2^H \mathbf{h}_{dr} x_d^l + n_r^l, & \Psi_0 \\ \sqrt{\lambda P} \mathbf{W}_1^H \mathbf{h}_{sr}^{(1)} x_s^{l(1)} + \\ \sqrt{(1-\lambda)P} \mathbf{W}_2^H \mathbf{h}_{dr} x_d^l + n_r^l, & \Psi_1 \end{cases} \quad (5)$$

$n_r^l \sim \mathcal{CN}(0, \sigma^2)$ نویز سفید جمع شونده در رله غیرقابل اعتماد است. لازم به ذکر است که کتاب کد x_d^l هم در رله و هم در ناظر ناشناخته است. در حالی که کتاب کد $x_s^{l(1)}$ در رله شناخته شده و در ناظر ناشناخته است. اگر CSI مربوط به ناظر در منبع موجود باشد، منبع می‌تواند با استفاده از شکل دهی پرتو فضای خالی ^۳ احتمال خط آشکارسازی در ناظر را به حداقل MRT برساند. با این وجود آنجایی که CSI ناظر موجود نیست، از

اطلاع‌رسانی می‌شود. همچنین، بازه‌های اسلات زمانی و شاخص اسلات‌های زمانی که رله در آن‌ها به باز ارسال داده می‌پردازد، به گیرنده اطلاع‌رسانی می‌شود. شکل ۳ مثالی از نحوه ارسال داده در اسلات‌های زمانی گوناگون را به تصویر می‌کشد.

فرض می‌شود که تمامی گره‌های موجود به صورت نیم دوطرفه ^۱ عمل می‌کنند. همچنین فرض می‌شود که دوره زمانی دقیق هر فاز از پیش تعیین شده است و گره‌ها به صورت کامل با یکدیگر هم‌زمان هستند. این فرض وجود دارد که کانال بین رله و مقصد هم پاسخ هستند.

سیگنال داده، سیگنال نویز مصنوعی منبع و سیگنال نویز مصنوعی مقصد در هر اسلات زمانی به ترتیب به صورت $X_s^{(2)} = [x_s^{1(2)}, \dots, x_s^{n(2)}]$ $X_s^{(1)} = [x_s^{1(1)}, \dots, x_s^{n(1)}]$ $X_d = [x_d^1, \dots, x_d^n]$ هستند.

همچنین بردار سیگنال دریافتی در آنتن k ام گره P (ناظر یا مقصد) $\mathbf{y}_{m_k}^l = [y_{m_k}^1, \dots, y_{m_k}^n]$ هست؛ بنابراین $y_{m_k}^l$ سیگنال l ام دریافتی توسط آنتن k ام در گره m هست. بردار سیگنال دریافتی در رله $\mathbf{y}_r^l = [y_r^1, \dots, y_r^n]$ هست که $y_r^l \in \mathbf{y}_{m_k}$ و $y_{m_k}^l \in \mathbf{y}_r^l$ هستند. $l = 1, \dots, n$ است.

در ادامه فرض می‌شود که کل توان ارسالی در هر فاز P وات هست. متغیرهای تصادفی λ و ξ که $0 \leq \lambda \leq 1$ و $0 \leq \xi \leq 1$ را تعریف می‌شوند که به ترتیب بیانگر عامل تخصیص توان بین منبع و مقصد، و بین منبع و رله هستند. در فاز اول $\mathbf{H}_{dw}^{(1)}, \mathbf{H}_{sw}^{(1)}$ به ترتیب به ترتیب بیانگر ماتریس کانال منبع به ناظر و مقصد به ناظر هستند، به طوری که $\mathbf{H}_{dw}^{(1)} = \mathbf{H}_{sw}^{(1)} = [h_{i,j}^{sw(1)}]_{i=1,j=1}^{i=N_w, j=N_s}$ هستند. همچنین $\mathbf{h}_{dr}^{(1)}, \mathbf{h}_{sr}^{(1)}$ به ترتیب بیانگر بردار کانال منبع به رله و مقصد به رله هستند، طوری که

$$\mathbf{h}_{sr}^{(1)} = [h_1^{sr(1)}, \dots, h_{N_s}^{sr(1)}]^T$$

$$\mathbf{h}_{dr}^{(1)} = [h_1^{dr(1)}, \dots, h_{N_d}^{dr(1)}]^T$$

متغیرهای $h_{i,j}^{dw(1)}, h_{i,j}^{sw(1)}, h_i^{dr(1)}$ مستقل و دارای توزیع یکسان ^۲ (i.i.d) می‌باشند. که میانگین آن‌ها برابر صفر و واریانس آن‌ها به ترتیب $\mu_{sw}^{(1)}, \mu_{dr}^{(1)}, \mu_{sr}^{(1)}$ است.

در فاز دوم $\mathbf{h}_{rd}^{(2)}, \mathbf{h}_{rw}^{(2)}, \mathbf{h}_{sw}^{(2)}$ به ترتیب بیانگر بردار کانال منبع به ناظر، رله به ناظر، رله به مقصد هستند، $\mathbf{h}_{sw}^{(2)} = [h_1^{rw(2)}, \dots, h_{N_w}^{rw(2)}]$ $[h_1^{sw(2)}, \dots, h_{N_w}^{sw(2)}]$ هستند. $\mathbf{h}_i^{rd(2)}, \mathbf{h}_i^{rw(2)}, \mathbf{h}_{rd}^{(2)} = [h_1^{rd(2)}, \dots, h_{N_d}^{rd(2)}]$ هستند. $h_i^{rw(2)}$ متغیرهای تصادفی گوسی مختلط، i.i.d می‌باشند. که میانگین آن‌ها برابر صفر است و واریانس آن‌ها $\mu_{rd}^{(2)}, \mu_{rw}^{(2)}$ است.

¹ Half-duplex² Independent and Identically Distributed

$$\gamma_a = \begin{cases} 0, & \Psi_0 \\ \frac{G_r^2 \lambda P \|h_{sr}^{(1)}\|^2 \|h_{dr}\|^2}{G_r^2 \sigma^2 \|h_{dr}\|^2 + \sigma^2} = \\ \frac{\lambda(1-\xi)\gamma_{sr}\gamma_{dr}}{\lambda\gamma_{sr} + (2-\lambda-\xi)\gamma_{dr} + 1}, & \Psi_1 \end{cases} \quad (9)$$

۳. مسئله بهینه‌سازی تخصیص توان

- در این مقاله دو هدف دنبال می‌شود که عبارت‌اند از:
- رله غیرقابل اعتماد نتواند به محتوى پیام ارسالی پی ببرد.
 - مخابره از دید ناظر پنهان باقی بماند.
- برای دست‌یابی به این دو هدف، در این بخش مسئله بهینه‌سازی تخصیص توان به گونه‌ای فرمول‌نویسی می‌شود که نرخ امن لحظه‌ای به شرط برقراری الزامات مخابره پنهان بیشینه شود.

۳-۱. ارسال امن نظریه اطلاعاتی

در این مقاله جهت جلوگیری از شنود اطلاعات توسط رله غیرقابل اعتماد از ارسال امن نظریه اطلاعاتی استفاده می‌شود. یکی از معیارهای مهم در ارسال امن نظریه اطلاعاتی نرخ امن هست. با توجه به رابطه ξ ، نرخ امن لحظه‌ای در سیستم مدل موردمطالعه از رابطه زیر محاسبه می‌شود.

$$\mathcal{R}_{sec} = \frac{\mathbb{P}_t}{2} [\log_2 \left(1 + \frac{\lambda(1-\xi)\gamma_{sr}\gamma_{dr}}{\lambda\gamma_{sr} + (2-\lambda-\xi)\gamma_{dr} + 1} \right) - \log_2 (1 + \frac{\lambda\gamma_{sr}}{(1-\lambda)\gamma_{dr} + 1})]^+ \quad (10)$$

از آنجایی که مخابره بین گیرنده و فرستنده در دوفاز صورت می‌پذیرد، ضریب $\frac{1}{2}$ در نظر گرفته شده است. همان‌طور که بیان شد، برای ایجاد خطا در آشکارسازی مخابره توسط ناظر در فاز اول منبع با احتمال \mathbb{P}_t تصمیم بر ارسال رله تصمیم بر باز ارسال نیز به همین منظور و با همان احتمال رله تصمیم بر باز ارسال داده می‌گیرد؛ بنابراین لازم هست که ضریب \mathbb{P}_t نیز برای نرخ امن لحظه‌ای در نظر گرفته شود.

۳-۲. الزامات مخابره پنهان

ناظر بر اساس توان سیگنال دریافت شده تصمیم می‌گیرد که آیا مخابره‌ای بین گره‌های شبکه صورت پذیرفته است یا خیر. اگر $\mathbf{h}_k^{dw(1)} = \mathbf{h}_k^{sw(1)} = [h_{k,1}^{sw(1)}, h_{k,2}^{sw(1)}, \dots, h_{k,N_s}^{sw(1)}]$ و $\mathbf{H}_{dw}^{(1)} = \mathbf{H}_{sw}^{(1)} = [h_{k,1}^{dw(1)}, h_{k,2}^{dw(1)}, \dots, h_{k,N_s}^{dw(1)}]$ ، به ترتیب سطر k ام ماتریس کانال $\mathbf{H}_{dw}^{(1)}$ و $\mathbf{H}_{sw}^{(1)}$ باشند سیگنال l ام دریافت شده توسط آتن k ام ناظر در فاز اول به صورت زیر محاسبه می‌شود.

$$y_{w_k}^{l(1)} = \begin{cases} \sqrt{(1-\lambda)\mathbb{P}} \mathbf{W}_2^H \mathbf{h}_k^{dw(1)} x_d^l + n_{w_k}^{l(1)}, & \Psi_0 \\ \sqrt{\lambda\mathbb{P}} \mathbf{W}_1^H \mathbf{h}_k^{sw(1)} x_s^{l(1)} + \\ \sqrt{(1-\lambda)\mathbb{P}} \mathbf{W}_2^H \mathbf{h}_k^{dw(1)} x_d^l + n_{w_k}^{l(1)}, & \Psi_1 \end{cases} \quad (11)$$

در جهت رله استفاده می‌شود. بردار وزن ارسال در منبع و مقصد به ترتیب $\mathbf{W}_2 = \frac{\mathbf{h}_{dr}}{\|\mathbf{h}_{dr}\|}$ و $\mathbf{W}_1 = \frac{\mathbf{h}_{sr}^{(1)}}{\|\mathbf{h}_{sr}^{(1)}\|}$ هستند. فرض Ψ_0 و Ψ_1 به ترتیب بیانگر عدم ارسال داده توسط منبع و ارسال داده توسط منبع هستند.

با توجه به رابطه ξ ، SINR دریافتی در رله غیرقابل اعتماد از رابطه زیر محاسبه می‌شود.

$$\gamma_r = \begin{cases} 0, & \Psi_0 \\ \frac{\lambda P \|h_{sr}^{(1)}\|^2}{(1-\lambda)P \|h_{dr}\|^2 + \sigma^2} = \\ \frac{\lambda \gamma_{sr}}{(1-\lambda)\gamma_{dr} + 1}, & \Psi_1 \end{cases} \quad (6)$$

در رابطه فوق $\gamma_{dr} = \frac{P \|h_{dr}\|^2}{\sigma^2}$ و $\gamma_{sr} = \frac{P \|h_{sr}^{(1)}\|^2}{\sigma^2}$ در رابطه فوق γ_{sr} هستند.

در فاز دوم رله غیرقابل اعتماد سیگنال دریافتی را نرمالیزه کرده و آن را با توان $(\xi - 1)P$ ارسال می‌کند. به عبارت دیگر رله سیگنال دریافتی را با عامل G_r تقویت می‌کند که G_r از رابطه زیر به دست می‌آید.

$$G_r = \begin{cases} 0, & \Psi_0 \\ \sqrt{\frac{(1-\xi)P}{\lambda P \|h_{sr}^{(1)}\|^2 + (1-\lambda)P \|h_{dr}\|^2 + \sigma^2}}, & \Psi_1 \end{cases} \quad (7)$$

در ادامه رله سیگنال $y_r^l = G_r y_r^l$ را باز ارسال می‌نماید. از آنجایی که مقصد از سیگنال تداخل ارسالی خود در فاز اول آگاه است، سیگنال l ام دریافتی توسط آتن k ام مقصد، بعد از حذف خودتداخلی از رابطه زیر محاسبه می‌شود [۲۵، ۷].

$$y_{d_k}^l = \begin{cases} n_{d_k}^l, & \Psi_0 \\ G_r \sqrt{\lambda P} \mathbf{W}_1^H \mathbf{h}_{sr}^{(1)} h_k^{dr} x_s^{l(1)} + \\ G_r n_r^l h_k^{dr} + n_{d_k}^l, & \Psi_1 \end{cases} \quad (8)$$

در رابطه فوق $n_d^l \sim \mathcal{CN}(0_{N_d \times 1}, \sigma^2 I_{N_d \times N_d})$ هست.

همان‌طور که بیان شد، در فاز دوم، رله با احتمال \mathbb{P}_t تصمیم به باز ارسال داده می‌گیرد. فرض Ψ_0 و Ψ_1 به ترتیب بیانگر عدم باز ارسال داده توسط رله و باز ارسال داده توسط رله هستند. دو عملکرد راج رله، AF و رمزگشایی و ارسال^۱ (DF) هست. رله AF سیگنال دریافتی را تقویت و باز ارسال می‌نماید. عیب روش AF تقویت نویز هست. در رابطه فوق $G_r n_r^l h_k^{dr}$ ترم مربوط به نویز حرارتی رله است که تقویت و باز ارسال شده است. در عملکرد DF لازم هست که سیگنال در رله رمزگشایی سپس باز ارسال شود، چون رله غیرقابل اعتماد هست، نمی‌توان از عملکرد DF استفاده کرد؛ بنابراین با وجود عیب تقویت نویز عملکرد AF از این عملکرد استفاده شده است.

در مقصد از روش MRC استفاده می‌شود. SNR دریافتی در مقصد از رابطه زیر محاسبه می‌شود.

^۱Decode – and- Forward (DF)

با فرض N_d و N_s به قدر کافی بزرگ، با به کارگیری قانون اعداد بزرگ $\|\mathbf{h}_{dr}\|^2$ و $\|\mathbf{h}_{sr}^{(1)}\|^2$ به ترتیب با $N_s \mu_{sr}^{(1)}$ و $N_d \mu_{dr}^{(1)}$ قابل جایگذاری هستند. با استفاده از قانون حد مرکزی $\mathbf{h}_{dr}^H \mathbf{h}_k^{dw(1)}$ و $\mathbf{h}_{sr}^{(1)H} \mathbf{h}_k^{sw(1)}$ به ترتیب به صورت $\mathcal{CN}(0, N_d \mu_{dr} \mu_{dw}^{(1)})$ و $\mathcal{CN}(0, N_s \mu_{sr}^{(1)} \mu_{sw}^{(1)})$ زدن هستند. با توجه به این مطالب و $\left| \frac{\mathbf{h}_{dr}^H}{\|\mathbf{h}_{dr}\|} \mathbf{h}_k^{dw(1)} \right|^2$ متغیرهای نمایی هستند که میانگین آنها به ترتیب $\mu_{dw}^{(1)}$ و $\mu_{sw}^{(1)}$ هست.^{۷۷}

باتوجه به روابط ۱۳ و ۱۴،تابع چگالی احتمال^۳ (PDF) دو متغیر تصادفی $\gamma_k^{(1)}$ و $\gamma_k^{(2)}$ توسط روابط زیر محاسبه می‌گردد.

$$f_{\Gamma_1}(\gamma_k^{(1)}) = \begin{cases} \frac{1}{(1-\lambda)P\mu_{dw}^{(1)}} e^{-\frac{\gamma_k^{(1)}}{(1-\lambda)P\mu_{dw}^{(1)}}}, & \Psi_0 \\ \left[e^{-\frac{\gamma_k^{(1)}}{\lambda P\mu_{sw}^{(1)}}} - e^{-\frac{\gamma_k^{(1)}}{(1-\lambda)P\mu_{dw}^{(1)}}} \right], & \Psi_1 \end{cases} \quad (15)$$

$$f_{\Gamma_2}(\gamma_k^{(2)}) = \begin{cases} \frac{1}{\xi P\mu_{sw}^{(2)}} e^{-\frac{\gamma_k^{(2)}}{\xi P\mu_{sw}^{(2)}}}, & \Psi_0 \\ \left[e^{-\frac{\gamma_k^{(2)}}{(1-\xi)P\mu_{rw}^{(2)}}} - e^{-\frac{\gamma_k^{(2)}}{(1-\xi)P\mu_{rw}^{(2)}}} \right], & \Psi_1 \end{cases} \quad (16)$$

همان‌طور که بیان شد، ناظر به ترتیب در فاز اول و دوم مقادیر $Y_w^{(2)} = \sum_{k=1}^{N_w} \theta_k^{(2)}$ و $Y_w^{(1)} = \sum_{k=1}^{N_w} \theta_k^{(1)}$ را محاسبه می‌کند. سپس $\gamma_k^{(1)}$ و $\gamma_k^{(2)}$ به ترتیب با $\vartheta^{(1)}$ و $\vartheta^{(2)}$ مقایسه می‌شوند. در صورتی که N_w به قدر کافی بزرگ فرض شود، بر اساس قضیه حد مرکزی تابع توزیع $Y_w^{(1)}$ و $Y_w^{(2)}$ از روابط زیر محاسبه می‌گردد.

$$Y_w^{(1)} \sim \begin{cases} \mathcal{CN}(\mathbb{E}(Y_w^{(1)}|\Psi_0), \text{var}(Y_w^{(1)}|\Psi_0)), & \Psi_0 \\ \mathcal{CN}(\mathbb{E}(Y_w^{(1)}|\Psi_1), \text{var}(Y_w^{(1)}|\Psi_1)), & \Psi_1 \end{cases} \quad (17)$$

$$Y_w^{(2)} \sim \begin{cases} \mathcal{CN}(\mathbb{E}(Y_w^{(2)}|\Psi_0), \text{var}(Y_w^{(2)}|\Psi_0)), & \Psi_0 \\ \mathcal{CN}(\mathbb{E}(Y_w^{(2)}|\Psi_1), \text{var}(Y_w^{(2)}|\Psi_1)), & \Psi_1 \end{cases} \quad (18)$$

$$\begin{aligned} \mathbb{E}(Y_w^{(1)}|\Psi_0) &= N_w(1-\lambda)P\mu_{dw}^{(1)} + \text{در روابط فوق} \\ \text{var}(Y_w^{(1)}|\Psi_0) &= N_w(1-\lambda)^2 P^2 (\mu_{dw}^{(1)})^2 \\ \mathbb{E}(Y_w^{(1)}|\Psi_1) &= N_w \lambda P \mu_{sw}^{(1)} + N_w(1-\lambda)P\mu_{dw}^{(1)} + \end{aligned}$$

نویز حرارتی در ناظر $\mathbf{n}_w^{l(1)} \sim \mathcal{CN}(0_{N_d}, \sigma_w^2 \mathbf{I}_{N_w \times N_w})$ هست. همچنین سیگنال l ام دریافت شده توسط آنتن k ام ناظر در فاز دوم به صورت زیر محاسبه می‌شود.

$$y_{w_k}^{l(2)} = \begin{cases} \sqrt{\xi P} \mathbf{h}_k^{sw(2)} x_s^{l(2)} + n_{w_k}^{l(2)}, & \Psi_0 \\ (y_r|\Psi_1) \times G_r h_k^{rw(2)} \\ + \sqrt{\xi P} \mathbf{h}_k^{sw(2)} x_s^{l(2)} + n_{w_k}^{l(2)}, & \Psi_1 \end{cases} \quad (12)$$

نویز حرارتی در ناظر $\mathbf{n}_w^{l(2)} \sim \mathcal{CN}(0_{N_d}, \sigma_w^2 \mathbf{I}_{N_w \times N_w})$ هست.

در مخابره پنهان ناظر یک حد آستانه تصمیم‌گیری را انتخاب می‌کند و بر اساس مقایسه توان سیگنال دریافتی با حد آستانه مذکور تصمیم بر وجود یا عدم وجود مخابره می‌گیرد. ناظر در فاز

$$Y_w^{(2)} = Y_w^{(1)} = \sum_{k=1}^{N_w} \sum_{l=1}^n \frac{|y_{w_k}^{l(1)}|^2}{n} \quad \text{اول و دوم به ترتیب} \\ \sum_{k=1}^{N_w} \sum_{l=1}^n \frac{|y_{w_k}^{l(2)}|^2}{n} \quad \text{را محاسبه می‌کند. سپس در فاز اول و دوم} \\ \Psi_1 \quad \Psi_1 \quad \text{به ترتیب براساس} \\ Y_w^{(2)} > \vartheta^{(2)} \quad \text{و} \quad Y_w^{(1)} > \vartheta^{(1)} \quad \text{تصمیم گیری} \\ \Psi_0 \quad \Psi_0 \quad \text{می‌نماید.}$$

در صورتی که به ازای $\theta_k^{(1)} = \sum_{n=1}^l \frac{|y_{w_k}^{l(1)}|^2}{n}$ $k = 0, \dots, N_w$ تعریف شوند. در این صورت $\theta_k^{(2)} = \sum_{l=1}^n \frac{|y_{w_k}^{l(2)}|^2}{n}$ و $\theta_k^{(2)} = (\sigma^2 + \gamma_k^{(2)}) \frac{\chi_{2n}^2}{n}$ در و $(\sigma^2 + \gamma_k^{(1)}) \frac{\chi_{2n}^2}{n}$ [۷] که χ_{2n}^2 متغیر تصادفی مربع کای با $2n$ درجه آزادی هست. همچنین مقادیر $\gamma_k^{(1)}$ و $\gamma_k^{(2)}$ از روابط زیر محاسبه می‌شود.

$$\gamma_k^{(1)} = \begin{cases} (1-\lambda)P \left| \frac{\mathbf{h}_{dr}^H}{\|\mathbf{h}_{dr}\|} \mathbf{h}_k^{dw(1)} \right|^2, & \Psi_0 \\ \lambda P \left| \frac{\mathbf{h}_{sr}^{(1)H}}{\|\mathbf{h}_{sr}^{(1)}\|} \mathbf{h}_k^{sw(1)} \right|^2 + (1-\lambda)P \left| \frac{\mathbf{h}_{dr}^H}{\|\mathbf{h}_{dr}\|} \mathbf{h}_k^{dw(1)} \right|^2, & \Psi_1 \end{cases} \quad (13)$$

$$\gamma_k^{(2)} = \begin{cases} \xi P \left| \mathbf{h}_k^{sw(2)} \right|^2, & \Psi_0 \\ (1-\xi)P \left| \mathbf{h}_k^{rw(2)} \right|^2 + \xi P \left| \mathbf{h}_k^{sw(2)} \right|^2, & \Psi_1 \end{cases} \quad (14)$$

بر اساس قانون قوی اعداد بزرگ^۱ $\frac{\chi_{2n}^2}{n}$ به عدد ۱ همگرا می‌شود. همچنین بر اساس نظریه همگرای غالب لبزگو^۲ با عدد $k = 1, \dots, N_w$ قابل جایگذاری هست [۷]؛ بنابراین به ازای $\theta_k^{(1)}$ و $\theta_k^{(2)} \sim (\sigma^2 + \gamma_k^{(2)})$ و $\theta_k^{(1)} \sim (\sigma^2 + \gamma_k^{(1)})$ هستند.

¹ Strong law of large numbers

² Lebesgue's dominated convergence theorem

$$\begin{aligned} \max_{\rho, \xi} \frac{\mathbb{P}_t}{2} [\log_2 & \left(1 + \frac{\lambda(1-\xi)\gamma_{sr}\gamma_{dr}}{\lambda\gamma_{sr} + (2-\lambda-\xi)\gamma_{dr} + 1} \right) \\ & - \log_2 (1 + \frac{\lambda\gamma_{sr}}{(1-\lambda)\gamma_{dr} + 1})] , \\ s, t : & \begin{aligned} 0 \leq \rho \leq 1 \\ 0 \leq \xi \leq 1 \\ \min_{\vartheta^{(1)}} (\mathbb{P}_{FA}^{(1)} + \mathbb{P}_{MD}^{(1)}) \geq 1 - \varepsilon, \\ \min_{\vartheta^{(2)}} (\mathbb{P}_{FA}^{(2)} + \mathbb{P}_{MD}^{(2)}) \geq 1 - \varepsilon, \end{aligned} \end{aligned} \quad (23)$$

با کمینه گیری بر روی $\vartheta^{(1)}$ و $\vartheta^{(2)}$ بدترین الزام مخابره پنهان به ترتیب در فاز اول و دوم در نظر گرفته می‌شود. برای حل مسئله بهینه‌سازی ابتدا لازم است که مقدار بهینه‌ی $\vartheta^{(1)}$ و $\vartheta^{(2)}$ محاسبه گردد. به این ترتیب از $\mathbb{P}_{FA}^{(1)}$ و $\mathbb{P}_{MD}^{(1)}$ و $\mathbb{P}_{FA}^{(2)}$ و $\mathbb{P}_{MD}^{(2)}$ به ترتیب نسبت به $\vartheta^{(1)}$ و $\vartheta^{(2)}$ مشتق گرفته می‌شود. مقادیر بهینه در پیوست ب [۲۹] آورده شده‌اند. در گام بعدی مقدار بهینه‌ی به دست آمده در روابط ۱۹ تا ۲۲ جایگذاری می‌شود. با کمی ساده‌سازی مسئله بهینه‌سازی به صورت زیر فرمول نویسی می‌شود.

$$\begin{aligned} \max_{\rho, \xi} \frac{\mathbb{P}_t}{2} [\log_2 & \left(1 + \frac{\lambda(1-\xi)\gamma_{sr}\gamma_{dr}}{\lambda\gamma_{sr} + (2-\lambda-\xi)\gamma_{dr} + 1} \right) \\ & - \log_2 (1 + \frac{\lambda\gamma_{sr}}{(1-\lambda)\gamma_{dr} + 1})] , \\ s, t : & \begin{aligned} 0 \leq \rho \leq 1 \\ 0 \leq \xi \leq 1 \\ \mathbb{Q} \left(\frac{\vartheta_{opt2}^{(1)} - \mathbb{E}(Y_w^{(1)}|\psi_1)}{\sqrt{\text{var}(Y_w^{(1)}|\psi_1)}} \right) \\ - \mathbb{Q} \left(\frac{\vartheta_{opt2}^{(1)} - \mathbb{E}(Y_w^{(1)}|\psi_0)}{\sqrt{\text{var}(Y_w^{(1)}|\psi_0)}} \right) \leq \varepsilon, \end{aligned} \end{aligned} \quad (24)$$

$$\begin{aligned} \mathbb{Q} \left(\frac{\vartheta_{opt2}^{(2)} - \mathbb{E}(Y_w^{(2)}|\psi_1)}{\sqrt{\text{var}(Y_w^{(2)}|\psi_1)}} \right) \\ - \mathbb{Q} \left(\frac{\vartheta_{opt2}^{(2)} - \mathbb{E}(Y_w^{(2)}|\psi_0)}{\sqrt{\text{var}(Y_w^{(2)}|\psi_0)}} \right) \leq \varepsilon, \end{aligned}$$

۴-۳. حل مسئله بهینه‌سازی تخصیص توان

همان‌طور که بیان شد، برای حل مسئله بهینه‌سازی مقید تک‌هدفه از روش تبدیل مسئله مقید تک‌هدفه به مسئله چند‌هدفه و حل مسئله چند‌هدفه استفاده می‌شود. برای این منظور لازم است که ۵ مرحله که در مقدمه آورده شده‌اند؛ مورد استفاده قرار بگیرند. مرحله اول، انجام نگاشتی از فضای محدودیت‌ها به فضای توابع هدف است که برای این

$$\begin{aligned} \text{var}(Y_w^{(1)}|\Psi_1) &= N_w \lambda^2 P^2 (\mu_{sw}^{(1)})^2 + N_w \sigma^2 \\ \mathbb{E}(Y_w^{(2)}|\Psi_0) &= N_w \xi P \mu_{sw}^{(2)} + N_w (1-\lambda)^2 P^2 (\mu_{dw}^{(1)})^2 \\ \text{var}(Y_w^{(2)}|\Psi_0) &= N_w \xi^2 P^2 (\mu_{sw}^{(2)})^2 + N_w \sigma^2 \\ \mathbb{E}(Y_w^{(2)}|\Psi_1) &= N_w (1-\xi) P \mu_{rw}^{(2)} + N_w \xi P \mu_{sw}^{(2)} + N_w \sigma^2 \\ \text{var}(Y_w^{(2)}|\Psi_1) &= N_w (1-\xi)^2 P^2 (\mu_{rw}^{(2)})^2 + N_w \xi^2 P^2 (\mu_{sw}^{(2)})^2 \end{aligned}$$

هستند.

همان‌طور که بیان شد، ناظر در فاز اول و دوم به ترتیب بر Ψ_1 و Ψ_0 اساس $\vartheta^{(1)}$ و $\vartheta^{(2)}$ تضمیم بر وجود یا عدم وجود مخابره می‌گیرد؛ بنابراین احتمال هشدار اشتباه و از دست دادن آشکارسازی در هر دو فاز توسط روابط ۲۲-۱۹ محاسبه می‌گردد.

$$\begin{aligned} \mathbb{P}_{FA}^{(1)} &= \mathbb{P}(Y_w^{(1)} > \vartheta^{(1)}|\Psi_0) \\ &= \mathbb{Q} \left(\frac{\vartheta^{(1)} - \mathbb{E}(Y_w^{(1)}|\Psi_0)}{\sqrt{\text{var}(Y_w^{(1)}|\Psi_0)}} \right) \end{aligned} \quad (25)$$

$$\begin{aligned} \mathbb{P}_{MD}^{(1)} &= \mathbb{P}(Y_w^{(1)} < \vartheta^{(1)}|\Psi_1) \\ &= 1 - \mathbb{Q} \left(\frac{\vartheta^{(1)} - \mathbb{E}(Y_w^{(1)}|\Psi_1)}{\sqrt{\text{var}(Y_w^{(1)}|\Psi_1)}} \right) \end{aligned} \quad (26)$$

$$\begin{aligned} \mathbb{P}_{FA}^{(2)} &= \mathbb{P}(Y_w^{(2)} > \vartheta^{(2)}|\Psi_0) \\ &= \mathbb{Q} \left(\frac{\vartheta^{(2)} - \mathbb{E}(Y_w^{(2)}|\Psi_0)}{\sqrt{\text{var}(Y_w^{(2)}|\Psi_0)}} \right) \end{aligned} \quad (27)$$

$$\begin{aligned} \mathbb{P}_{MD}^{(2)} &= \mathbb{P}(Y_w^{(2)} < \vartheta^{(2)}|\Psi_1) \\ &= 1 - \mathbb{Q} \left(\frac{\vartheta^{(2)} - \mathbb{E}(Y_w^{(2)}|\Psi_1)}{\sqrt{\text{var}(Y_w^{(2)}|\Psi_1)}} \right) \end{aligned} \quad (28)$$

در روابط فوق $\mathbb{Q}(x)$ به صورت $\mathbb{Q}(x) = \frac{1}{\sqrt{2\pi}} \int_x^\infty e^{-\frac{y^2}{2}} dy$ تعریف می‌شود.

۳-۳. مسئله بهینه‌سازی تخصیص توان

در این بخش مسئله بهینه‌سازی تخصیص توان به گونه‌ای فرمول نویسی می‌شود که نرخ امن به دست آمده در فرمول ۱۰ بیشینه شود. همچنین الزامات مخابره پنهان که در فرمول ۲ آورده شده است، در هر دو فاز برقرار باشد. بنابراین مسئله بهینه‌سازی تخصیص توان به صورت زیر فرمول نویسی می‌شود.

به‌این ترتیب جمعیت فرزندان ایجاد می‌شود. در شبیه‌سازی‌های مربوط به این مقاله از عملگر ترکیب حسابی استفاده شده است [۳۱]. هدف از الگوریتم انتخاب این هست که اهمیت بیشتری به اعضای برجسته جامعه داده می‌شود. یکی از انواع عملگرهای انتخاب، انتخاب رقابتی دوتایی هست [۳۲]؛ در شبیه‌سازی‌های این مقاله از الگوریتم انتخاب رقابتی بازتری استفاده شده است.

الگوریتم (۱): الگوریتم ژنتیک [۳۳]

- ۱- ایجاد جمعیت اولیه
- ۲- محاسبه میزان برآزندگی راه حل
- ۳- انتخاب
- ۴- انجام تقاطع \leftarrow ایجاد جمعیت فرزندان
- ۵- انجام جهش \leftarrow ایجاد جمعیت جهش‌یافتنگان
- ۶- در صورت برآورده نشدن شرایط خاتمه به ۲ برگرد در غیر این صورت پایان.

الگوریتم ژنتیک برای بهینه‌سازی تک‌هدفه و چندهدفه یکسان هست و تفاوت آن‌ها در بخش‌های انتخاب والدین و نیز انتخاب اعضای اصلی جمعیت جدید هست. یکی از نسخه‌های چندهدفه الگوریتم ژنتیک، NSGAII هست [۳۲] که در این مقاله از آن استفاده شده است.

در الگوریتم NSGAII هر شخص در جمعیت دو ویژگی دارد:

- ۱- مرتبه: همان شماره جبهه مربوط به شخص هست.
- ۲- فاصله ازدحامی محلی: فاصله ازدحامی شخص در جبهه‌ای است که در آن قرار دارد.

در هنگام مقایسه بین دو راه حل در صورتی که مرتبه آن‌ها متفاوت باشد، شخص دارای مرتبه کمتر ترجیح داده می‌شود. در غیر این صورت اگر مرتبه آن‌ها یکسان باشد، شخص دارای فاصله ازدحامی بیشتر ترجیح داده خواهد شد [۳۲].

الگوریتم (۲): مرتب‌سازی نا مغلوب [۳۲]

- ۱- شمارنده جبهه‌ها را برابر یک قرار بده.
- ۲- اولین عضو از جمعیت P را به مجموعه P' اضافه کن.
- ۳- بهازای هر $p \in P$, طوری که $p \notin P'$
- $P' = P' \cup \{p\}$
- بهازای هر $q \in P'$, طوری که $q \neq p$
- اگر p بر q غلبه کند: q را از مجموعه P' حذف کن.
- در غیر این صورت، اگر q بر p غلبه کند، p را از مجموعه P' حذف کن.
- ۴- اگر $P' = \emptyset$, پایان. در غیر این صورت: اعضای P' , را به جبهه k اضافه کن و از مجموعه P , حذف کن. یک واحد به شمارنده جبهه k اضافه کن و به مرحله ۲ بازگرد.

منظور تخطی^۱ از قیود رابطه ۲۴ به عنوان توابع هدف در مسئله چندهدفه معادل در نظر گرفته می‌شود. در نتیجه مسئله بهینه‌سازی معادل در فضای چندهدفه به صورت زیر فرمول نویسی می‌شود.

$$\begin{aligned} & \max_{\rho, \xi} \frac{\mathbb{P}_t}{2} [\log_2 \left(1 + \frac{\lambda(1-\xi)\gamma_{sr}\gamma_{dr}}{\lambda\gamma_{sr} + (2-\lambda-\xi)\gamma_{dr} + 1} \right) \\ & - \log_2 \left(1 + \frac{\lambda\gamma_{sr}}{(1-\lambda)\gamma_{dr} + 1} \right)]^+, \\ & \min_{\rho, \xi} \left[\frac{\mathbb{Q} \left(\frac{\vartheta_{opt2}^{(1)} - \mathbb{E}(Y_w^{(1)}|\psi_1)}{\sqrt{var(Y_w^{(1)}|\psi_1)}} \right)}{\varepsilon} \right. \\ & \quad \left. - \frac{\mathbb{Q} \left(\frac{\vartheta_{opt2}^{(2)} - \mathbb{E}(Y_w^{(2)}|\psi_0)}{\sqrt{var(Y_w^{(2)}|\psi_0)}} \right)}{\varepsilon} - 1 \right]^+ \end{aligned} \quad (25)$$

$$\begin{aligned} & \min_{\rho, \xi} \left[\frac{\mathbb{Q} \left(\frac{\vartheta_{opt2}^{(2)} - \mathbb{E}(Y_w^{(2)}|\psi_1)}{\sqrt{var(Y_w^{(2)}|\psi_1)}} \right)}{\varepsilon} \right. \\ & \quad \left. - \frac{\mathbb{Q} \left(\frac{\vartheta_{opt2}^{(2)} - \mathbb{E}(Y_w^{(2)}|\psi_0)}{\sqrt{var(Y_w^{(2)}|\psi_0)}} \right)}{\varepsilon} - 1 \right]^+ \end{aligned}$$

انجام، مرحله ۲ الزامی نیست و در شبیه‌سازی‌های این مقاله از انجام مرحله ۲ صرف نظر شده است.

برای حل مسئله بهینه‌سازی از الگوریتم ژنتیک استفاده می‌شود. الگوریتم ژنتیک در الگوریتم ۱ آورده شده است. عملگر جهش، جهشی تصادفی در والد ایجاد می‌کند و به‌این ترتیب فرزند ایجاد می‌شود. این عملگر برای حفظ تنوع در جمعیت ضروری هست. در شبیه‌سازی‌های این مقاله از عملگر جهش گوسی استفاده شده است [۳۰]. این عملگر، یک عملگر مرسوم در مسائل بهینه‌سازی دارای فضای جست‌وجوی پیوسته هست.

در عملگر ترکیب دو والد با یکدیگر ترکیب می‌شوند و

^۱ Violation

جدول (۱). پارامترهای شبیه‌سازی سیستم مدل

مقدار	پارامتر	نام
-۵۰ dBW	توان نویز در رله و مقصد	σ^2
-۵۰ dBW	توان نویز در ناظر	σ_w^2
۰/۵	احتمال ارسال داده در هر اسلات زمانی	\mathbb{P}_t
۱۰ dBW	کل توان ارسالی در هر اسلات زمانی	\mathbf{P}
۰/۹	حد پایین خطای آشکارسازی در ناظر	$1 - \epsilon$
۱۶	تعداد آتن منبع	N_s
۱۶	تعداد آتن مقصد	N_d
۱۶	تعداد آتن ناظر	N_w
(-۵,۰)	مکان منبع	
(۵,۰)	مکان مقصد	
(۰,۰)	مکان رله	
(۰,-۵)	مکان ناظر	

جدول (۲). پارامترهای کیفی EA مورد استفاده

نام	مقدار
عدد حقیقی	بازنمایی
عملگر ترکیب حسابی	عملگر ترکیب
عملگر جهش گوسی	عملگر جهش
انتخاب رفاقتی	عملگر انتخاب والدین

شکل ۴، ESR را بر حسب کل توان ارسال در هر شکاف زمانی نمایش می‌دهد. همان‌طور که مشاهده می‌شود، ESR یکتابع افزایشی نسبت به کل توان ارسالی است. دلیل این امر این است که سیگنال نویز مصنوعی، فقط در گره‌های غیرقانونی تأثیر مخرب دارد و هیچ تأثیری در مقصد به دلیل حذف خود تداخلی نخواهد داشت. برای حل مسئله بهینه‌سازی مقید تک‌هدفه، از روش تبدیل مسئله مقید به مسئله چند‌هدفه سپس حل مسئله چند‌هدفه با الگوریتم NSGAII استفاده شده است. از این‌رو به منظور تأییدیه‌ای بر روی مطرح شده، نتایج حاصل از آن با مونت‌کارلو مقایسه می‌شود. (لازم به ذکر است در روش مونت‌کارلو از روش جستجو جامع نیز استفاده شده است تا مقدار بهینه مسئله و شکاف بهینه روش حل پیشنهادی محاسبه شود). همان‌طور که دیده می‌شود، بین حل پیشنهادی با روش جستجوی جامع $6/88\%$ شکاف وجود دارد که انگر کارایی روش حل و تحلیل‌های موجود در این مقاله هست.

در [۲] به بررسی سیستم مدلی که منبع چند آتن و مقصد تک آتن پرداخته شده است. در مقایسه با نمودار ۳ الف در [۲]، در کار ما ESR افزایش‌یافته است. علت این موضوع مجذب بودن مقصد به ۱۶ آتن هست. مقصد از روش MRC استفاده می‌کند و SNR دریافتی اش را بهبود می‌دهد. این امر سبب می‌شود که رله باز ارسال داده منبع را با توان کمتری انجام دهد و توان بیشتری به ارسال سیگنال نویز مصنوعی توسط منبع در فاز دوم اختصاص داده شود. به این ترتیب قابلیت تشخیص ناظر کاهش پیدا می‌کند. از سوی دیگر در فاز اول، استفاده از MRT توسط مقصد در

الگوریتم (۳): فاصله ازدحامی [۳۲]

- ۱ $|I| = l$ در نظر بگیر. (I ، بیانگر سایز مجموعه I هست).
- ۲ بهازای هر $i \in I$ ، $I[i]_{distance} = 0$ در نظر بگیر.
- ۳ بهازای هرتابع هدف m مرتب مجموعه I را در راستای تابع هدف m نماییم.
- $I[1]_{distance} = I[l]_{distance} = \infty$ ➤ می‌دهیم.
- $i = 2, \dots, (l-1)$ ➤ بهازای $I[i]_{distance} = I[i]_{distance} + \sqrt{(I[i+1].m - I[i-1])}$

بعد از حل مسئله بهینه‌سازی چند‌هدفه بیان شده در رابطه ۲۵، مجموعه جواب‌های جبهه پارتول به دست می‌آیند. حال از میان این مجموعه جواب‌ها، آن‌هایی که در قیود مسئله بهینه‌سازی ۲۴ صدق نمی‌کنند، حذف می‌شوند. از میان پاسخ‌های باقی‌مانده، پاسخ دارای بالاترین نرخ امن به عنوان پاسخ مسئله در نظر گرفته می‌شود. لازم به ذکر هست که اگر M و N به ترتیب تعداد توابع هدف و تعداد تکرارهای الگوریتم NSGAII باشند، پیچیدگی رویکرد مرتب‌سازی نامغلوب برابر $O(MN^2)$ هست.

۴. نتایج و بحث

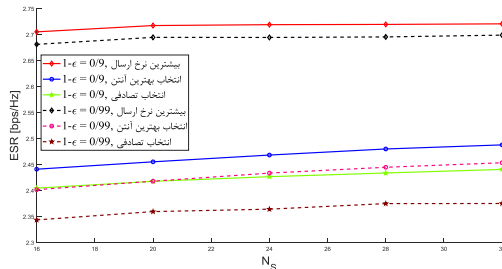
جهت سادگی محاسبات فرض می‌شود، $\mu_{sw}^{(2)} = \mu_{sw}^{(1)} = \mu_{sw}$ ، $\mu_{dw}^{(1)} = \mu_{dw}^{(2)} = \mu_{dw}$ ، $\mu_{sr}^{(1)} = \mu_{rw}$ و $\mu_{ij} = d_{ij}^{-\alpha}$ بهازای $i \in \{s, d, r\}$ و $j \in \{w, d, r\}$ انجام می‌شود که d_{ij} براحتی $d_{ij} = \sqrt{(I[i+1].m - I[i-1])}$ بیانگر توان افت مسیر هست. پارامترهای شبیه‌سازی سیستم مدل موردمطالعه در جدول ۱ آورده شده است.

برای توصیف یک EA از پارامترهای کمی و پارامترهای کیفی استفاده می‌شود. پارامترهای کیفی، پارامترهای سطح بالایی هستند که ساختار کلی یک الگوریتم تکاملی را مشخص می‌نمایند و از طریق آن‌ها تمایز میان الگوریتم‌های تکاملی گوناگون برقرار می‌گردد. به عنوان مثال، یکی از پارامترهای کیفی عملگر ترکیب است که می‌تواند عملگر ترکیب حسابی باشد. دسته دیگری از پارامترها، پارامترهای کمی هستند. پارامترهای EA کمی، پارامترهای سطح پایه‌نی هستند که به توصیف یک EA خاص می‌پردازنند. [۳۴] پارامترهای کمی و کیفی EA که برای شبیه‌سازی‌های این مقاله استفاده شده است به ترتیب در جدول ۲ و ۳ آورده شده است.

^۱ که در آن $m \cdot I[i]$ ، بیانگر m امین تابع هدف شخص i از مجموعه است.

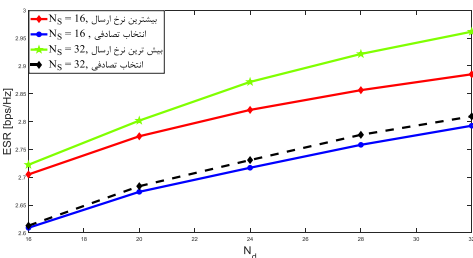
² Pareto front

آنتن بودن ناظر هست. چند آنتن بودن ناظر سبب می‌شود، پاسخ‌های امکان‌پذیر^۱ محدودتر شوند و با کاهش $E - 1$ ، ESR بهبود چندانی حاصل نشود.



شکل (۵): ESR بر اساس تعداد آنتن منبع

در شکل ۶ اثر ESR، بر حسب تعداد آنتن‌های مقصد نشان داده شده است. همان‌طور که مشاهده می‌شود، ESR در هر دو حالت انتخاب آنتن تصادفی و MRT در جهت رله، یک تابع افزایشی نسبت به تعداد آنتن‌های مقصد هست. دلیل این امر، این است که مقصد با استفاده از MRC سیگنال دریافتی خود را بهبود می‌دهد. این شکل، کارایی روش MRT بکار گرفته شده را با روش انتخاب آنتن تصادفی مقایسه می‌کند. در روش انتخاب آنتن تصادفی مقایسه می‌کند. همان‌طور که مشاهده می‌شود، MRT به ترتیب در حالت مجهر بودن منبع به ۱۶ و ۳۲ آنتن ۳/۴۹٪ و ۴/۴۶٪ ESR بیشتری را نسبت به حالت انتخاب تصادفی آنتن ارائه می‌دهد.



شکل (۶): ESR بر اساس تعداد آنتن مقصد

شکل ۷ اثر تعداد آنتن ناظر را در احتمال خطای تشخیص وجود یا عدم وجود مخابر در ناظر را بیان می‌دارد. همان‌طور که در شکل مشاهده می‌شود هرچقدر ناظر به تعداد آنتن بیشتری مجهر باشد می‌تواند احتمال خطای تشخیص خود را کاهش دهد. در [۷]، در ابتدا به بررسی سناریویی پرداخته می‌شود که یک ناظر تک آتنه در شبکه وجود دارد. سپس به حالت ناظران هم-دست و ناظران غیر هم-دست بسط داده می‌شود.

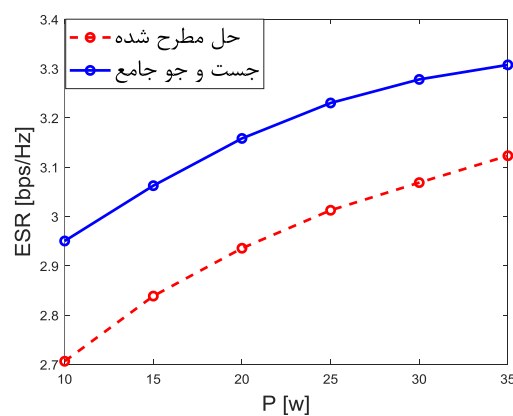
باتوجه به نمودار ۶ در [۷]، میانگین احتمال خطای تشخیص ناظر نسبت به حالتی که ناظر تک آنتن باشد، کاهش پیداکرده است. نکته دیگری که با مقایسه با نمودار ۶ در [۷] حاصل می‌شود، این است که حضور چند ناظر در شبکه نسبت به ناظر چند آنتن تأثیر بیشتری در کاهش میانگین احتمال خطای ناظر دارد.

^۱ پاسخ‌هایی که قیدهای مسئله را برآورده می‌سازند.

جهت رله غیرقابل اعتماد برای ارسال سیگنال نویز مصنوعی سبب کاهش SINR در رله غیرقابل اعتماد می‌گردد. این امر نیز سبب بیشتر شدن ESR در مقایسه با [۷] می‌گردد.

جدول (۳). پارامترهای کیفی EA مورد استفاده

نام	بارامتر	مقدار
G_N	تعداد نسل‌ها	۱۰۰
P_S	تعداد اعضای جمعیت	۵۰
M_R	نرخ جهش	۰/۰۲
M_P	درصد جهش بر روی اعضا جمعیت	۳۰٪
C_P	درصد ترکیب بر روی اعضا جمعیت	۷۰٪
M_s	گام جهش	۰/۱



شکل (۴): ESR بر اساس کل توان ارسال در هر اسلات زمانی شکل ۵، ESR را بر حسب تعداد آنتن‌های منبع به تصویر می‌کشد. این شکل کارایی روش MRT بکار گرفته شده را با دو روش انتخاب بهترین آنتن و انتخاب آنتن تصادفی مقایسه می‌کند. در روش انتخاب بهترین آنتن، منبع آتنی را برای ارسال انتخاب می‌کند که دارای بیشترین بهره کanal با رله باشد. در انتخاب آنتن تصادفی همان‌طور که از نام آن پیدا است منبع یک آنتن را به صورت تصادفی انتخاب می‌کند. همان‌طور که مشاهده می‌شود روش MRT بیشتری را نسبت به دو روش دیگر دارد که به ترتیب و به طور میانگین ۹/۴۸٪ و ۱۱/۵۳٪ بیشتر از انتخاب بهترین آنتن و انتخاب تصادفی آنتن هست.

این شکل اثر حد پایین احتمال خطای آشکارسازی در ناظر یعنی ۴ - ۱ را نیز مورد ارزیابی قرار می‌دهد. همان‌طور که در شکل دیده می‌شود، هنگامی که احتمال خطای آشکارسازی قابل پذیرش از ۴/۰۲٪ به ۹۹٪ افزایش یابد، ESR به طور میانگین ۴/۰۲٪ کاهش می‌یابد. دلیل این امر این است که با افزایش احتمال خطای آشکارسازی قابل پذیرش لازم است که سیگنال داده با توان پایین‌تر و سیگنال تداخل با توان بیشتری ارسال شود، این امر موجب کاهش در ESR می‌شود.

در نمودار ۳ ب، به بررسی اثر ۴ - ۱ در سیستم مدلی ناظر تک آنتن هست، پرداخته شده است. در مقایسه با [۷] با افزایش ۴ - ۱ میزان کاهش ESR کمتر است. علت این موضوع چند

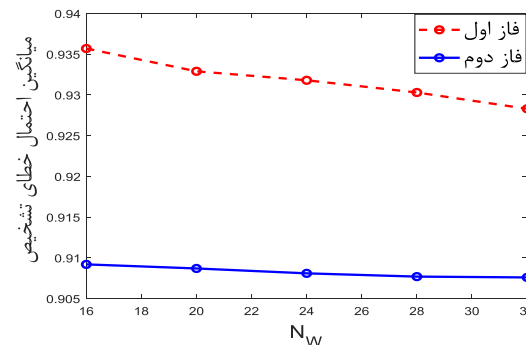
۵. نتیجه‌گیری

در این مقاله به مطالعه ارسال امن نظریه اطلاعاتی و مخابره پنهان در یک شبکه دارای رله غیرقابل اعتماد پرداخته شده است. در سیستم مدل موردمطالعه رله غیرقابل اعتماد سعی می‌کند داده‌های موجود در سیگنال دریافتی را استخراج کند، درحالی که هدف ناظر پی‌بردن به وجود مخابره در شبکه است. برای مقابله با این دو تهدید امنیتی پیشنهاد می‌شود که مقصد و منبع به ترتیب در فاز اول و دوم به ارسال سیگنال تداخل مباردت ورزند. در این سیستم نمونه یک راهبرد تشخیص توان ارائه می‌شود تا ضمن برقراری الزامات مخابره پنهان در هر دو فاز ارسال داده، نرخ امن بیشینه شود. برای حل مسئله بهینه‌سازی مقید تشخیص توان از روش تبدیل به مسئله چنددهفه و حل مسئله چنددهفه با الگوریتم NSGAII استفاده می‌شود، مقایسه نتایج با روش جستجو جامع نشان‌دهنده کارآمد بودن روش حل مذکور برای حل مسئله تشخیص توان است.

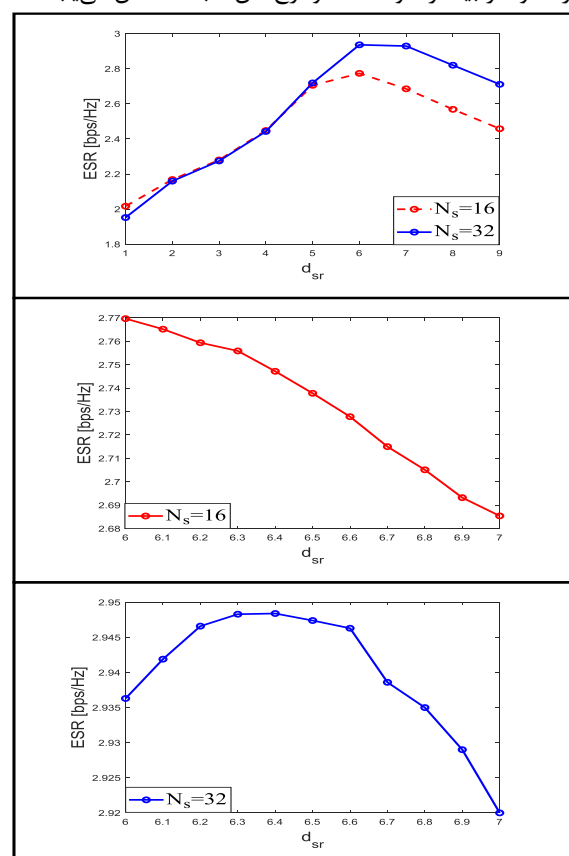
در سیستم مدل موردمطالعه ارسال بررسی، در فاز اول منبع برای ارسال داده از روش MRT در جهت رله استفاده می‌کند، نتایج حاصل از این گزارش نشان می‌دهد این روش از روش‌های انتخاب بهترین آنتن و روش انتخاب آنتن تصادفی بهتر عمل می‌کند. مقصد نیز جهت ارسال سیگنال تداخل از روش MRT در جهت رله استفاده می‌نماید، نشان‌دهنده است این روش عملکرد بهتری را نسبت به روش انتخاب آنتن تصادفی دارا هست. همچنین، نتیجه گرفته می‌شود که هرچقدر ناظر از تعداد آنتن بیشتری بهره‌مند باشد می‌تواند میانگین احتمال خطای آشکارسازی خود را کمتر نماید. علاوه بر این، هرچقدر تعداد آنتن‌های منبع افزایش پیدا کند، لازم است که رله، فاصله بیشتری را تا منبع داشته باشد.

۶. مراجع

- [1] S. Blackburn and S. D. Galbraith, "Certification of secure RSA keys," *Electronics Letters*, vol. 36, no. 1, pp. 29-30, 2000, doi: 10.1049/el:20000035.
- [2] J. Han, X. Zeng, X. Xue, and J. Ma, "Physical Layer Secret Key Generation Based on Autoencoder for Weakly Correlated Channels," in 2020 IEEE/CIC International Conference on Communications in China (ICCC), 2020: IEEE, pp. 1220-1225, doi: 10.1109/ICCC49849.2020.9238931.
- [3] M. Adil, S. Wyne, and S. J. Nawaz, "On quantization for secret key generation from wireless channel samples," *IEEE Access*, vol. 9, pp. 21653-21668, 2021, doi: 10.1109/ACCESS.2021.3055561.
- [4] B. A. Bash, D. Goeckel, D. Towsley, and S. Guha, "Hiding information in noise: Fundamental limits of covert wireless communication," *IEEE Communications Magazine*, vol. 53, no. 12, pp. 26-31, 2015, doi: 10.1109/MCOM.2015.7355562.
- [5] L. Mucchi *et al.*, "Physical-layer security in 6G networks," *IEEE Open Journal of the Communications Society*, vol. 2, pp. 1901-1914, 2021, doi: 10.1109/OJCOMS.2021.3103735.
- [6] K. S. K. Arumugam, M. R. Bloch, and L. Wang, "Covert communication over a physically degraded relay



شکل (۷): اثر تعداد آنتن ناظر بر روی میانگین احتمال خطای تشخیص ناظر با فرض ثابت بودن مکان تمامی گره‌ها به جز رله، رله بر روی خط واصل منبع و مقصد از منبع به سمت مقصد جابه‌جا می‌شود. شکل ۸، ESR را بر حسب مکان رله نمایش می‌دهد. منظور از d_{sr} ، فاصله رله تا منبع هست. نتایج حاصل نشان می‌دهد که به‌ازای تعداد مشخصی آنتن منبع، موقعیتی وجود دارد که اگر رله غیرقابل اعتماد در آن قرار بگیرد، ESR بیشینه می‌شود. هنگامی که منبع ۱۶ آنتن استفاده می‌کند، فاصله بینینه رله تا منبع عددی در بازه [6,6.1] هست. با فرض استفاده منبع از ۳۲ آنتن، فاصله بینینه رله تا منبع در بازه [6.4,6.5] هست. یکی از نتایج حاصل از شکل ۸ این است که هرچقدر رله‌ی غیرقابل-اعتماد به منبع نزدیک‌تر باشد، لازم است منبع از تعداد آنتن کمتری استفاده کند. زیرا در این غیر این صورت نشت اطلاعات در شنودگر بیشتر خواهد شد و نرخ امن شبکه کاهش می‌یابد.



شکل (۸): اثر مکان رله بر ESR

- 63, no. 23, pp. 6285-6298, 2015, doi: 10.1109/TSP.2015.2465301.
- [21] Z. Han, N. Marina, M. Debbah, and A. Hjørungnes, "Physical layer security game: interaction between source, eavesdropper, and friendly jammer," *EURASIP Journal on Wireless Communications and Networking*, vol. 2009, pp. 1-10, 2010, doi: 10.1155/2009/452907.
- [22] I. Krikidis, J. S. Thompson, and S. McLaughlin, "Relay selection for secure cooperative networks with jamming," *IEEE Transactions on Wireless Communications*, vol. 8, no. 10, pp. 5003-5011, 2009, doi: 10.1109/TWC.2009.090323.
- [23] F. Samsami, P. Baei, M. Forouzesh, S. M. J. Asgari Tabatabaei, "The analysis and design of secure wireless networks in the presence of users with different security needs based on covert communication and secure transmission of information theory in the presence of a friendly jammer", *Jurnal of Electronical & Cyber Defence*, vol. 9 no. 4, 2022, Doi:<https://dor.isc.ac/dor/20.1001.1.23224347.1400.9.4.6.9>(In Persian)
- [24] Y. Liu, J. Li, and A. P. Petropulu, "Destination assisted cooperative jamming for wireless physical-layer security," *IEEE Transactions on Information Forensics and Security*, vol. 8, no. 4, pp. 682-694, 2013, doi: 10.1109/TIFS.2013.2248730.
- [25] A. Kuhestani, A. Mohammadi, and M. Mohammadi, "Joint relay selection and power allocation in large-scale MIMO systems with untrusted relays and passive eavesdroppers," *IEEE Transactions on Information Forensics and Security*, vol. 13, no. 2, pp. 341-355, 2017, doi: 10.1109/TIFS.2017.2750102.
- [26] M. Mitchell, *An Introduction to Genetic Algorithms*. 1996.
- [27] C. A. C. Coello and E. M. Montes, "Constraint-handling in genetic algorithms through the use of dominance-based tournament selection," *Advanced Engineering Informatics*, vol. 16, no. 3, pp. 193-203, 2002, doi: 10.1016/S1474-0346(02)00011-3.
- [28] C. A. C. Coello, "A comprehensive survey of evolutionary-based multiobjective optimization techniques," *Knowledge and Information systems*, vol. 1, no. 3, pp. 269-308, 1999, doi: 10.1007/BF03325101.
- [29] M. Yari, P. Azmi, "Covert communication with untrusted relay," Thesis, Tarbiat modares Univ, Se, 2020 .(In Persian)
- [30] R. Hinterding, "Gaussian mutation and self-adaption for numeric genetic algorithms," in *Proceedings of 1995 IEEE International Conference on Evolutionary Computation*, 1995, vol. 1: IEEE, p. 384, doi: 10.1109/ICEC.1995.489178.
- [31] M. Furqan, H. Hartono, E. Ongko, and M. Ikhsan, "Performance of Arithmetic Crossover and Heuristic Crossover in Genetic Algorithm Based on Alpha Parameter," *IOSR Journal of Computer Engineering (IOSR-JCE)*, vol. 19, no. 1, pp. 31-36, 2017, doi: 10.9790/0661-1905013136.
- [32] K. Deb, S. Agrawal, A. Pratap, and T. Meyarivan, "A fast elitist non-dominated sorting genetic algorithm for multi-objective optimization: NSGA-II," in *International conference on parallel problem solving from nature*, 2000: Springer, pp. 849-858, doi: 10.1007/3-540-45356-3_83.
- [33] M. A. Albadr, S. Tiun, M. Ayob, and F. Al-Dhief , "Genetic algorithm based on natural selection theory for optimization problems," *Symmetry*, vol. 12, no. 11, p. 1758, 2020, doi: 10.3390/sym12111758.
- [34] A. E. Eiben and S. K. Smit, "Parameter tuning for configuring and analyzing evolutionary algorithms," *Swarm and Evolutionary Computation*, vol. 1, no. 1, pp. 19-31, 2011, doi: 10.1016/j.swevo.2011.02.001.
- channel with non-colluding wardens," in *2018 IEEE International Symposium on Information Theory (ISIT)*, 2018: IEEE, pp. 766-770, doi: 10.1109/ISIT.2018.8437505.
- [7] M. Forouzesh, P. Azmi, A. Kuhestani, and P. L. Yeoh, "Covert communication and secure transmission over untrusted relaying networks in the presence of multiple wardens," *IEEE Transactions on Communications*, 2020, doi: 10.1109/TCOMM.2020.2978206.
- [8] M. Forouzesh, P. Azmi, N. Mokari, and D. Goeckel, "Covert Communication Using Null Space and 3D Beamforming," *arXiv preprint arXiv:1907.01350*, 2019, doi: 10.1109/TVT.2020.2997074.
- [9] J. Hu, S. Yan, X. Zhou, F. Shu, J. Li, and J. Wang, "Covert communication achieved by a greedy relay in wireless networks," *IEEE Transactions on Wireless Communications*, vol. 17, no. 7, pp. 4766-4779, 2018, doi: 10.1109/TWC.2018.2831217.
- [10] K. Shahzad, "Relaying via cooperative jamming in covert wireless communications," in *2018 12th International Conference on Signal Processing and Communication Systems (ICSPCS)*, 2018: IEEE, pp. 1-6, doi: 10.1109/ICSPCS.2018.8631772.
- [11] K. Shahzad, X. Zhou, S. Yan, J. Hu, F. Shu, and J. Li, "Achieving covert wireless communications using a full-duplex receiver," *IEEE Transactions on Wireless Communications*, vol. 17, no. 12, pp. 8517-8530, 2018, doi: 10.1109/TWC.2018.2878014.
- [12] T. V. Sobers, B. A. Bash, S. Guha, D. Towsley, and D. Goeckel, "Covert communication in the presence of an uninformed jammer," *IEEE Transactions on Wireless Communications*, vol. 16, no. 9 ,pp. 6193-6206, 2017, doi: 10.1109/TWC.2017.2720736.
- [13] J. Wang, W. Tang, Q. Zhu, X. Li, H. Rao, and S. Li, "Covert communication with the help of relay and channel uncertainty," *IEEE Wireless Communications Letters*, vol. 8, no. 1, pp. 317-320, 2018, doi: 10.1109/LWC.2018.2872058.
- [14] A. Nosratinia, T. E. Hunter ,and A. Hedayat, "Cooperative communication in wireless networks," *IEEE communications Magazine*, vol. 42, no. 10, pp. 74-80, 2004, doi: 10.1109/MCOM.2004.1341264.
- [15] A. S. Shah and M. S. Islam, "A survey on cooperative communication in wireless networks," *International Journal of Intelligent Systems and Applications*, vol. 6, no. 7, p. 66, 2014, doi: 10.5815/ijisa.2014.07.09.
- [16] X. Chen, D. W. K. Ng, W. H. Gerstacker, and H.-H. Chen, "A survey on multiple-antenna techniques for physical layer security," *IEEE Communications Surveys & Tutorials*, vol. 19, no. 2, pp. 1027-1053, 2016, doi: 10.1109/COMST.2016.2633387.
- [17] A. D. Wyner, "The wire- tap channel," *Bell system technical journal*, vol. 54, no. 8, pp. 1355-1387, 1975, doi: 10.1002/j.1538-7305.1975.tb02040.x.
- [18] J. M. Hamamreh, H. M. Furqan, and H. Arslan, "Classifications and applications of physical layer security techniques for confidentiality: A comprehensive survey," *IEEE Communications Surveys & Tutorials*, vol. 21, no. 2, pp. 1773-1828, 2018, doi: 10.1109/COMST.2018.2878035.
- [19] D. Fang, N. Yang, M. Elkashlan, P. L. Yeoh, and J. Yuan, "Cooperative jamming protocols in two hop amplify-and-forward wiretap channels," in *2013 IEEE International Conference on Communications (ICC)*, 2013: IEEE, pp. 2188-2192, doi: 10.1109/ICC.2013.6654852.
- [20] H.-M. Wang, C. Wang, and D. W. K. Ng, "Artificial noise assisted secure transmission under training and feedback," *IEEE Transactions on Signal Processing* ,vol.